



کاهش زیستی آلومینیوم از محیط زیست با استفاده از گیاه لیسیانتوس

زینب السادات هاشمی، فائزه قناتی*

گروه علوم گیاهی دانشگاه تربیت مدرس

E-mail: ghanghia@modares.ac.ir

تاریخ پذیرش: ۱۳۹۴/۱۲/۱۹

تاریخ دریافت: ۱۳۹۴/۰۹/۲۸

چکیده

آلومینیوم فلزی سه ظرفیتی است که با توجه به فراوانی آن در پوسته زمین یکی از معضلات عمده محیط زیست است و نیز با تبدیل شدن به کاتیون Al^{3+} در خاک‌های اسیدی، یک عامل اساسی در کاهش تولید محصولات کشاورزی در این خاک‌هاست. آلومینیوم در آب، هوا و خاک اطراف ما وجود دارد. مصرف آلومینیوم به صورت آنتی اسید و داروهای دارای هیدروکسید آلومینیوم، حضور آن در آب آشامیدنی و مصرف غذایی آن بسیار رایج است و از طرفی می‌تواند عامل بروز بیماری‌هایی مثل آزالیم، پوکی استخوان، فقر کلسیم، از دست دادن حافظه و غیره باشد. شناسایی گیاهانی که بدون سمیت نسبت به این عنصر قادر به جذب مقادیر بالایی از آن هستند می‌تواند گام موثری در پالایش خاک و آب از این عنصر در نظر گرفته شود. هدف از تحقیق حاضر بررسی توان جذب آلومینیوم توسط گیاه لیسیانتوس در کشت هیدروپونیک می‌باشد. به این منظور گیاهچه‌های لیسیانتوس در شرایط کشت هیدروپونیک تحت تیمار ۴۰۰ غلظت ۴، ۶۰۰، ۸۰۰ و ۱۲۰۰ میکرومولار آلومینیوم به مدت ۱۰ روز قرار گرفتند. نتایج حاکی از عدم افزایش معنی‌دار هیدروژن پروکسید و افزایش قدرت جاروب کنندگی آنیون سوپراکسید در ریشه به عنوان شاخص‌های تنش بود. همچنین افزایش معنی‌دار قدرت احیا کنندگی آهن (FRAP) در گروه تیمار شده با آلومینیوم نسبت به گروه شاهد مشاهده شد که حاکی از قدرت آنتی اکسیدانی بالای گیاه لیسیانتوس در مقابل آلومینیوم می‌باشد. این نتایج پیشنهاد می‌کند که می‌توان از گیاه لیسیانتوس برای کاهش غلظت آلومینیوم در محیط استفاده نمود.

کلیدواژه‌ها: آلومینیوم، تنش اکسیداتیو، سیستم آنتی اکسیدانی، لیسیانتوس

مقدمه
جدی برای سلامتی انسان و محصولات کشاورزی دارد. با افزایش استفاده از کودهای آمونیومی، تجمع مواد آلی و باران‌های اسیدی، اسیدیته خاک و به دنبال آن آلومینیوم محلول در محیط رو به افزایش است، به همین سبب توجه به سمیت آلومینیوم از اهمیت

آلومینیوم (Al) سومین عنصر فراوان بعد از اکسیژن و سیلیکون می‌باشد که ۸٪ پوسته زمین را تشکیل می‌دهد. آلومینیوم یکی از فراوانترین فلزات آلوده کننده آب، خاک و زنجیره‌ی غذایی است و تهدیدات

لیسیانتوس علاوه بر اهمیت اقتصادی- تجاری، به دلیل مقاومت به گرما و پاتوژن نیز مورد توجه است. اما بهبود رشد این گیاه در حضور فلز سمی آلومینیوم، موضوعی است که به تازگی به آن پرداخته شده و در عین حال اهمیت این گیاه زیستی را دو چندان نموده است. هدف از تحقیق حاضر با هدف بررسی میزان جذب غلظت‌های مختلف آلومینیوم در گیاه کامل و زیستوده خشک گیاه و تاثیر آن بر برخی پارامترهای سیستم آنتی اکسیدان انجام گرفت.

مواد و روش ها

کشت گیاه و اعمال تیمار

گیاهچه‌های جوان و ریشه‌دار لیسانتوس واریته ایندیکا از بازار گل و گیاه شهرستان اصفهان تهیه شد. گیاهچه‌ها با آب جاری شسته و به مدت ۳ دقیقه در محلول پرمنگنات پتاسیم ضد عفونی سطحی شدند. سپس به محلول غذایی تغییر یافته هوگاند ۱/۴ (pH 6) با فرمول زیر منتقل و هوادهی شدند: (مقادیر بر حسب میلی مول):

$\text{Ca}(\text{NO}_3)_2 \cdot 4\text{H}_2\text{O}_2$, 2.5; KNO_3 , 2.5;
 $\text{MgSO}_4 \cdot 7\text{H}_2\text{O}_2$, 1; KH_2PO_4 , 0.5

(مقادیر بر حسب ppm):

Fe-EDTA, 3; H_3BO_3 , 0.5; Mn(MnCl₂), 0.5; Zn(ZnCl₂), 0.05; Cu(CuCl₂.H₂O₂), 0.02; Mo(Na₂MoO₄), 0.02

گیاهچه‌ها به مدت ۱۴ روز در این محیط نگهداری شدند و به منظور سازگاری گیاهان با شرایط هیدرو پونیک و خروج مواد جذب شده قبلی از خاک یکبار محیط تعویض می‌شد. رشد گیاهان در اتاق رشد با دمای $^{\circ}\text{C}$ 27 ± 3 و دوره نوری ۱۶ ساعت نور و ۸ ساعت تاریکی، دانسیته‌ی نوری فتوستنتزی $\mu\text{MS}^{-1}\text{m}^2$ انجام شد. به منظور تعیین تاثیر زیستوده خشک و

ویژه‌ای برخوردار است. افزایش محلولیت آلومینیوم در خاک وابسته به اسیدی شدن خاک است که باعث شستشوی یون‌های فلز قلیایی خاک و کاهش pH محلول خاک می‌شود. یکی از نشانه‌های بارز سمیت آلومینیوم در گیاهان مهار رشد ریشه می‌باشد [۴]. دیواره سلولی یکی از مکان‌های اصلی ایجاد سمیت و سمیت زدایی فلزات سنگین است که با این فلزات اتصال برقرار می‌کند [۱]. مکانیسم سمیت آلومینیوم به طور کامل مشخص نیست با این حال گزارش‌های زیادی نقش آن را در تولید گونه‌های فعال اکسیژن مولکولی (ROS) و ایجاد تنش اکسیداتیو تایید می‌کند. ROS‌ها اصولاً به عنوان مولکول‌های پیام رسان در گیاه ستزمی‌شوند و در تنظیم نمو و پاسخ‌های دفاعی به پاتوژن‌ها دخیل هستند، اما تولید بیش از اندازه آن‌ها بر متابولیسم سلول تأثیر می‌گذارد. در واقع تنش‌های زنده و غیرزنده می‌توانند سطح سترن ROS را افزایش دهند. فلزات و از جمله آلومینیوم به عنوان کاتالیز کننده در تولید ROS‌ها و القای تنش اکسیداتیو نقش دارند [۲۰]. انواع مختلفی از سیستم‌های دفاعی آنتی اکسیدانی در سلول‌ها وجود دارد که قادر به جاروب کردن ROS‌ها هستند. اما تعادل بین تولید و جاروب کردن ROS‌ها با عوامل محیطی ناسازگار برهم می‌خورد که سمیت آلومینیوم یکی از این عوامل می‌باشد [۱۳]. در برخی گیاهان تجمع دهنده آلومینیوم نظیر چای، تیمار با این یون سبب بهبود روند رشد گردید [۱۲ و ۱۵]. بررسی‌های انجام شده بر روی کشت سلول چای و نیز قلمه‌های ریشه دار شده این گیاه نشان داده است که عدم سمیت چای و حتی تحریک رشد آن با این یون ممکن است به علت تاثیر مثبت آلومینیوم در افزایش کارایی سیستم ایمنی و افزایش فعالیت آنزیم‌های آنتی اکسیدان باشد [۷]. گیاه

به منظور سنجش H_2O_2 ، ۱۰۰ میلی گرم از نمونه های منجمد در ۲ میلی لیتر تری کلرو استیک اسید ۰/۱ درصد در هاون روی یخ ساییده شد. سپس نمونه ها در ۱۲۰۰۰ دور و به مدت ۱۵ دقیقه سانتریفیوژ شدند. ۱ میلی لیتر از بخش روشناور حاصل با ۱ میلی لیتر از بافر فسفات پتاسیم (10 M میلی مولار pH ۷) و ۲ میلی لیتر پتاسیم یدید (KI) یک مولار مخلوط و جذب آن در طول موج ۳۹۰ نانومتر تعیین شد. مقدار هیدروژن پراکسید با استفاده از منحنی استاندارد محاسبه گردید [۱۹].

به منظور سنجش فعالیت آنزیم پراکسیداز ۴۰۰ میلی گرم از نمونه های منجمد شده در ۳ میلی لیتر بافر (Tris-maleat) ۵۰ میلی مول (pH ۶) ساییده و با دور g $\times 12000$ به مدت ۲۰ دقیقه سانتریفیوژ شد (مراحل فوق در ۴ درجه سانتی گراد انجام شد). به دنبال مراحل استخراج، بخش روشناور حاصل برای سنجش پراکسیداز محلول (SPO) استفاده شد. مخلوط واکنش (۳ میلی لیتر) شامل بافر فسفات پتاسیم ۶۰ میلی مولار (pH ۶/۱)، ۲۸ میلی مولار گایاکول و ۵ میلی مولار پراکسید هیدروژن و عصاره آنزیمی بود. جذب نوری در ۴۷۰ نانومتر به مدت یک دقیقه اندازه گیری شد. فعالیت آنزیم بر حسب تغییرات جذب به نسبت میلی گرم پروتئین عصاره بیان شد [۶].

جهت سنجش قدرت احیا کنندگی آهن ۱۰۰ میلی گرم از نمونه با ۳ میلی لیتر متانول مطلق روی یخ همگن شد. پس از سانتریفیوژ (g $\times 12000$ ، ۲۰ دقیقه)، ۲/۵ میلی لیتر از عصاره با ۲/۵ میلی لیتر بافر سدیم فسفات (M ۶/۰، pH ۶/۰) و ۲/۵ میلی لیتر محلول پتاسیم فریک سیانید ۱ درصد مخلوط شد و به مدت ۲۰ دقیقه در حمام آب گرم ۵۰ درجه سانتی گراد قرار گرفت. سپس به محلول، ۲/۵ میلی لیتر تری کلرو

کاه کلش گیاه لیسیانتوس در جذب آلومینیوم، گل های شاخه بریده لیسیانتوس از همان واریته ای ایندیکا از گل فروشی تهیه شد.

گیاهچه های ۶ ماهه لیسیانتوس تحت تیمار آلومینیوم (به شکل $AlCl_3$) در غلظت های ۴۰۰، ۶۰۰، ۸۰۰ و ۱۲۰۰ میکرومولار قرار گرفتند. تعیین میزان غلظت آلومینیوم بر اساس نتایج تحقیقات قبلی و منابع موجود صورت گرفت [۲ و ۳]. تیمار دهی با آلومینیوم به مدت ۱۰ روز انجام شد و سپس نمونه های شاهد و تیمار شده (هریک با سه تکرار) برداشت شدند. پس از شستشو با آب مقطر، ساقه و ریشه قلمه ها از محل یقه گیاه جدا شده و پس از انجماد با نیتروژن مایع تا زمان انجام آنالیز های بیوشیمیایی در فریزر با دمای $-80^{\circ}C$ نگهداری شدند. به منظور تعیین تاثیر زیستوده خشک و کاه کلش گیاه لیسیانتوس در جذب آلومینیوم، توده های ۵ گرمی از قسمت های مختلف گلبرگ، برگ و ساقه ای گل های شاخه بریده در پارچه های تنظیف پیچیده شد و در جاره ایی محتوی ۲۵۰ میلی لیتر محلول آلومینیوم کلرید با غلظت های ۴۰۰ و ۱۲۰۰ میکرومولار قرار گرفتند. نمونه های شاهد هم زمان در آب دیونیزه با pH ۷ شناور شدند. تیمار دهی به مدت ۱۰ روز انجام و هریک از نمونه های شاهد و تیمار شده (هریک با سه تکرار) برداشت و با آب دیونیزه شستشو داده شده و بعد از انجماد با نیتروژن مایع در فریزر $-80^{\circ}C$ نگهداری شد. آب دیونیزه حاصل از شستشو و محلول درون جارها هر کدام تغییض و تا زمان انجام آنالیز ها نگهداری شد. آنالیز های بعدی بر روی نمونه ها نیز در سه تکرار مستقل صورت گرفت.

سنجش های بیوشیمیایی

اضافه و تا زمان تعیین محتوای آلمینیوم نگهداری شد. رسوب بدست آمده بعد از سانتریفیوژ نیز، درون کروزه‌های چینی قرار گرفته و در داخل کوره ابتدا دو ساعت در دمای 35°C و سپس ۲ ساعت در دمای 55°C درجه سانتی‌گراد خاکستر شدند. پس از سرد شدن به این نمونه‌ها نیز، ۵ میلی لیتر HCl یک نرمال اضافه و تا زمان تعیین محتوای آلمینیوم نگهداری شدند.

سنچش محتوای آلمینیوم از طریق وزن کردن 200 mg میلی‌گرم از برگ، ریشه و همچنین زیتونه خشک نمونه‌های گیاهی شاهد و تیمار شده در کروزه‌های چینی انجام شد و در داخل کوره ابتدا دو ساعت در دمای 35°C و سپس ۲ ساعت در دمای 55°C درجه سانتی‌گراد خاکستر شدند. پس از سرد شدن به نمونه‌ها یک میلی لیتر از مخلوط آب مقطر- HCl یک نرمال 110 mM اضافه شد. سپس نمونه‌ها در حمام شن در دمای 5°C درجه سانتی‌گراد قرار گرفته و پس از خشک شدن، ۵ میلی لیتر HCl یک نرمال افزوده شد. میزان آلمینیوم نمونه‌ها با دستگاه اسپکتروفتومتر اندازه‌گیری شد. مخلوط واکنش شامل ۵ میلی لیتر بافر سدیم استات Dodecyl DTAB (1 M ، $\text{pH }5/2$)، 0.5 ml لیتر $1/5$ میلی مولار، trimethyl ammonium bromide میلی لیتر ECR (Eriochrome Red) 0.4 ml میلی مولار و 1 ml میلی لیتر از نمونه‌ها به حجم نهایی 25 ml میلی لیتر با آب دیونیزه رسانده شد. بعد از ورتکس جذب نمونه‌ها در طول موج 584 nm نانومتر خوانده شد. نمونه‌های استاندارد آلمینیوم در غلظت‌های $700\text{ }\mu\text{g/L}$ - $100\text{ }\mu\text{g/L}$ ماکرومولار تهیه شد.

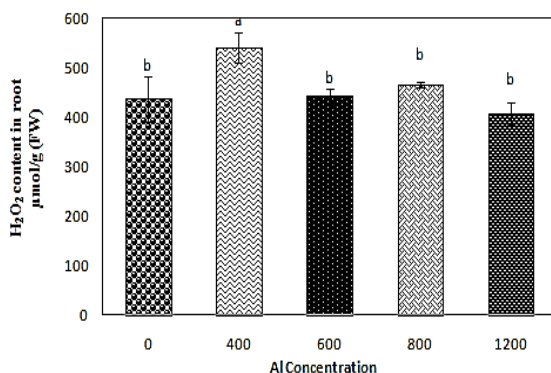
0.5 g از ریشه‌های تیمار شده در 4 mL غلظت ذکر شده و همچنین از نمونه‌های شاهد به مدت 5 min در 15 ml میلی لیتر آب دوبار تقطیر قرار داده شد. بعد از برداشت نمونه‌ها آب باقی مانده تغییض و مقدار

استیک اسید 10 mL درصد اضافه و در سانتریفیوژ $12000\times g$ دور به مدت 20 min (مراحل فوق در 4°C درجه سانتی‌گراد انجام شد) گذاشته شد. در پایان 5 mL لیتر از محلول رویی، 5 mL لیتر آب دیونیزه و 1 mL لیتر فریک کلرید (FeCl₃) $1/10\text{ M}$ درصد مخلوط و جذب در طول موج 700 nm تعیین شد.

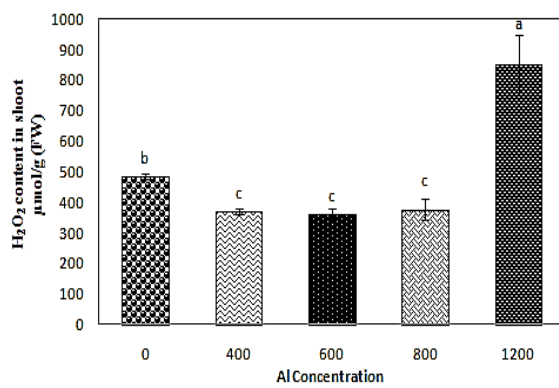
برای سنجش توان جاروب کنندگی رادیکال آنیون سوپراکسید روش تولید آنیون سوپراکسید به وسیله پیروگالل استفاده شد. به این منظور 100 mg از HCl-نمونه را روی یخ با 3 mL لیتر بافر تریس- $\text{pH }7/50.5\text{ mM}$ (Saiyide و سپس به مدت 20 min در درجه 4°C در میان 4 mL سانتی‌گراد در $12000\times g$ دور سانتریفیوژ گردید. محلول رویی را برداشته و با بافر به حجم 3 mL لیتر رسانده و بعد از این، 5 mL ماکرولیتر پیروگالل ($50\text{ mM} \text{ HClmM}$) در دو نوبت، بعد از اضافه شدن پیروگالل و 5 min درجه سانتی‌گراد قرار گردید. همه مراحل یکبار بدون حضور عصاره نمونه به عنوان A_0 که معرف سرعت اتوکسیداسیون پیروگالل است، انجام شد. درصد جاروب کنندگی رادیکال‌های آنیون سوپراکسید طبق فرمول زیر محاسبه شد [۱۴].

$$\frac{[A_0 - (A_1 - A_2)]}{A_0} \times 100/A_0$$

برای جداکردن محتوای آلمینیوم سیم پلاستی و آپوپلاستی، 200 mg از نمونه‌های ریشه برداشته و با 3 mL لیتر آب دیونیزه ساییده شد. سپس نمونه‌ها در سانتریفیوژ $12000\times g$ دور به مدت 20 min درجه سانتی‌گراد قرار داده شد. بخش روشناور به طور کامل درون کروزه‌های چینی منتقل و تا تبخیر کامل بر روی هیتر با دمای 200 °C درجه سانتی‌گراد قرار داده شد. سپس به هر کدام از کروزه‌ها 5 mL لیتر HCl یک نرمال



شکل ۱: تاثیر تیمار Al ($400, 600, 800, 1200 \mu\text{M}$) بر محتوای هیدروژن پروکسید ریشه در مقایسه با گروه شاهد. داده‌ها میانگین سه تکرار و در هر گروه، حروف غیر یکسان نشان دهنده تفاوت معنی دار در سطح $P \leq 0.05$ می‌باشد.



شکل ۲: تاثیر تیمار Al ($400, 600, 800, 1200 \mu\text{M}$) بر محتوای هیدروژن پروکسید اندام هوایی در مقایسه با گروه شاهد. داده‌ها میانگین سه تکرار و در هر گروه، حروف غیر یکسان نشان دهنده تفاوت معنی دار در سطح $P \leq 0.05$ می‌باشد.

فعالیت آنزیم PO_4

فعالیت پراکسیداز ریشه در گروه‌های تیمار کاهش معنی داری نسبت به گروه شاهد نشان داده و کمترین فعالیت مربوط می‌شود به غلظت $600 \mu\text{M}$ که 95% درصد نسبت به گروه شاهد کاهش داشته است (شکل ۳).

فعالیت آنزیم پراکسیداز اندام هوایی در غلظت $2/8, 400 \mu\text{M}$ برابر در مقایسه با گروه شاهد افزایش یافته اما در سایر غلظت‌ها تفاوت معنی داری نسبت به گروه شاهد مشاهده نشد (شکل ۴).

آلومینیوم آن با روش اسپکتروفوتومتری تعیین شد تا مقدار آلومینیوم واجذب شده از ریشه‌ها اندازه‌گیری شود.

به منظور اندازه‌گیری pH به کمک pH متر (DIGITAL PH METER, FAN AZMAGOSTAR) مدل pH آب جاره‌ای حاوی فیلتر در سه نوبت، ابتدای آزمایش-روز پنجم و روز دهم اندازه‌گیری شد. هم چنین برای اندازه‌گیری هدایت الکتریکی (Electroconductivity) Conductivity meter PT-20(Sartariusgermany) EC زیستوده خشک فیلترها در زمان تیمار دهی اندازه‌گیری شد.

آنالیزهای آماری

کلیه آنالیزها با سه تکرار مستقل انجام گرفت. به منظور تحلیل داده‌ها و رسم نمودارهای مربوطه از نرم افزار SPSS, Excel و آنالیز واریانس (ANOVA) استفاده شد و اختلاف میانگین داده‌ها با LSD مقایسه شد. میزان معنی دار بودن یا نبودن اختلاف‌ها در سطح $P \leq 0.05$ بررسی شد.

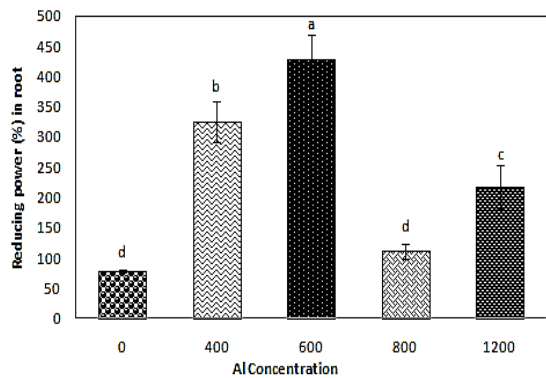
نتایج

محتوای H_2O_2

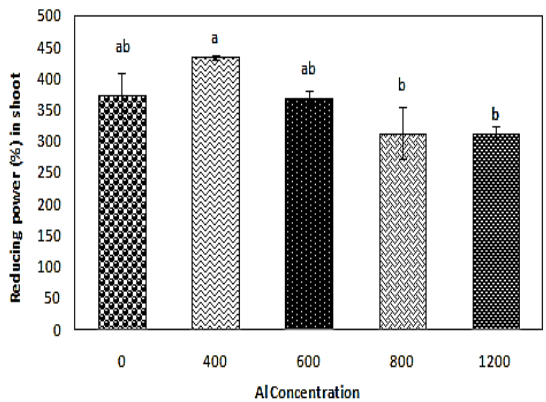
مقدار هیدروژن پروکسید ریشه در تیمار سه غلظت اول کاهش معنی دار، ولی در غلظت $1200 \mu\text{M}$ در مقایسه با گروه شاهد 73% درصد افزایش مشاهده شد (شکل ۱).

میزان H_2O_2 اندام هوایی تنها در غلظت $400 \mu\text{M}$ 23% درصد افزایش نشان داده و در سایر غلظت‌ها تفاوت معنی داری در مقایسه با گروه شاهد گزارش نشد (شکل ۲).

(شکل ۶).



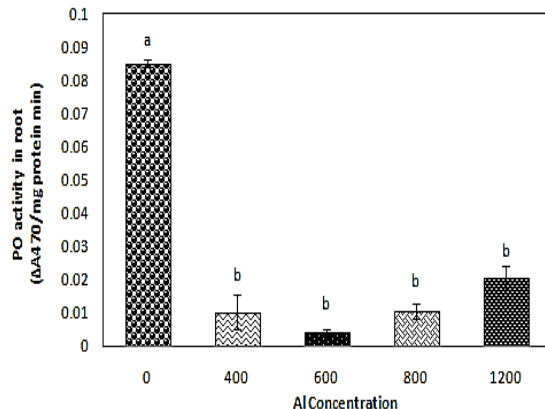
شکل ۵: تاثیر تیمار (400, 600, 800, 1200 μM Al) بر احیا کنندگی آهن ریشه در مقایسه با گروه شاهد. داده‌ها میانگین سه تکرار و در هر گروه، حروف غیر یکسان نشان دهنده تفاوت معنی‌دار در سطح $P \leq 0.05$ می‌باشد.



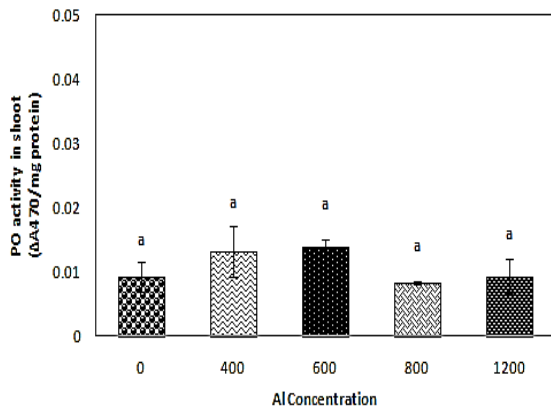
شکل ۶: تاثیر تیمار (400, 600, 800, 1200 μM Al) بر احیا کنندگی آهن اندام هوایی در مقایسه با گروه شاهد. داده‌ها میانگین سه تکرار و در هر گروه، حروف غیر یکسان نشان دهنده تفاوت معنی‌دار در سطح $P \leq 0.05$ می‌باشد.

محتوای آنیون سوپراکسید
نتایج نشان داد که تیمار با غلظت ۱۲۰۰ μM تفاوت معنی‌داری با گروه شاهد ندارد ولی در سایر غلظت‌ها شاهد افزایش معنی‌دار هستیم و بیشترین میزان مربوط می‌شود به غلظت ۶۰۰ μM که ۲/۵ برابر گروه شاهد افزایش یافته است (شکل ۷).

در اندام هوایی نمونه‌های تیمار شده به جز در غلظت ۶۰۰ با ۱/۰۲ برابر افزایش، سایر غلظت‌ها در



شکل ۳: تاثیر تیمار (400, 600, 800, 1200 μM Al) بر فعالیت آنزیم PO ریشه در مقایسه با گروه شاهد. داده‌ها میانگین سه تکرار و در هر گروه، حروف غیر یکسان نشان دهنده تفاوت معنی‌دار در سطح $P \leq 0.05$ می‌باشد.



شکل ۴: تاثیر تیمار (400, 600, 800, 1200 μM Al) بر فعالیت آنزیم PO اندام هوایی در مقایسه با گروه شاهد. داده‌ها میانگین سه تکرار و در هر گروه، حروف غیر یکسان نشان دهنده تفاوت معنی‌دار در سطح $P \leq 0.05$ می‌باشد.

احیا کنندگی آهن

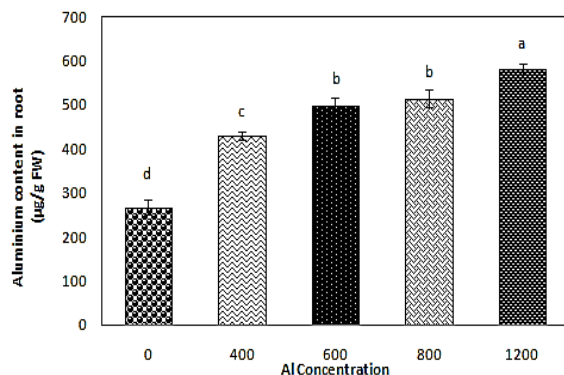
قدرت احیاکنندگی آهن ریشه به جز در غلظت ۸۰۰ μM که تفاوت معنی‌داری با گروه شاهد نداشت در سایر غلظت‌ها افزایش یافته و بیشترین میزان آن مربوط است به غلظت ۶۰۰ μM که ۴/۴ برابر گروه شاهد افزایش یافته است (شکل ۵).

در اندام هوایی گیاه لیسیاتوس تغییر معنی‌داری در قدرت احیاکنندگی آهن در گروه‌های مختلف تیمار شده با آلمینیوم در مقایسه با گروه شاهد ایجاد نشد

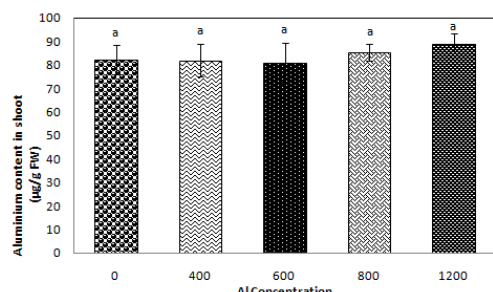
بیشترین میزان آن در غلظت $M\text{ }\mu$ ۱۲۰۰ با ۱/۱۷ برابر افزایش، مشاهده شد (شکل ۹).

مقدار جذب آلومینیوم
مقدار جذب آلومینیوم در اندام هوایی

اندازه‌گیری محتوای آلومینیوم اندام هوایی گیاهان تیمار شده نشان داد انتقال آلومینیوم از ریشه به اندام هوایی گیاه متناسب با جذب آن در ریشه نبوده و لذا تفاوت میزان آلومینیوم در اندام هوایی در مقایسه با گروه شاهد معنی‌دار نبود (شکل ۹)

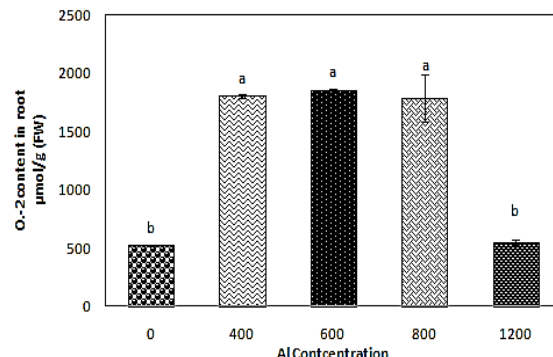


شکل ۹: تاثیر تیمار Al (۴۰۰, ۶۰۰, ۸۰۰, ۱۲۰۰ μM) بر محتوای آلومینیوم ریشه در مقایسه با گروه شاهد. داده‌ها میانگین سه تکرار و در هر گروه، حروف غیر یکسان نشان دهنده تفاوت معنی‌دار در سطح $P \leq 0.05$ می‌باشد.

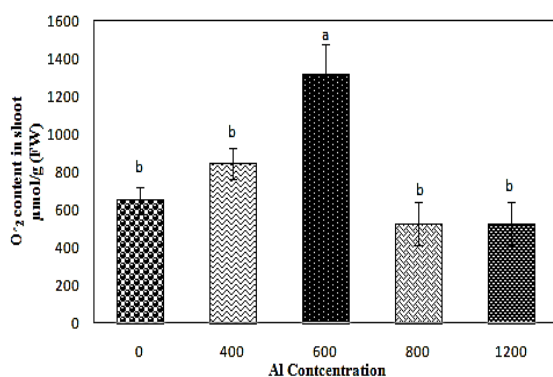


شکل ۱۰: تاثیر تیمار Al (۴۰۰, ۶۰۰, ۸۰۰, ۱۲۰۰ μM) بر محتوای آلومینیوم اندام هوایی در مقایسه با گروه شاهد. داده‌ها میانگین سه تکرار و در هر گروه، حروف غیر یکسان نشان دهنده تفاوت معنی‌دار در سطح $P \leq 0.05$ می‌باشد.

مقایسه با گروه شاهد تفاوت معنی‌داری نشان ندادند (شکل ۸).



شکل ۷: تاثیر تیمار Al (۴۰۰, ۶۰۰, ۸۰۰, ۱۲۰۰ μM) بر محتوای آنیون سوپر اکسید ریشه در مقایسه با گروه شاهد. داده‌ها میانگین سه تکرار و در هر گروه، حروف غیر یکسان نشان دهنده تفاوت معنی‌دار در سطح $P \leq 0.05$ می‌باشد.



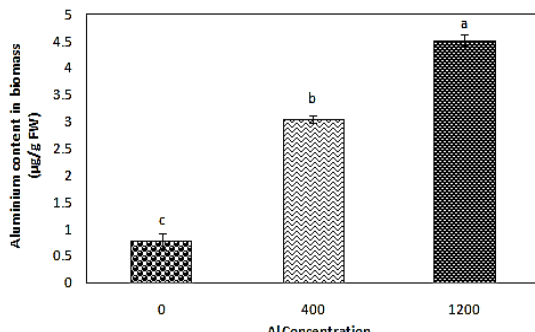
شکل ۸: تاثیر تیمار Al (۴۰۰, ۶۰۰, ۸۰۰, ۱۲۰۰ μM) بر محتوای آنیون سوپر اکسید اندام هوایی در مقایسه با گروه شاهد. داده‌ها میانگین سه تکرار و در هر گروه، حروف غیر یکسان نشان دهنده تفاوت معنی‌دار در سطح $P \leq 0.05$ می‌باشد.

مقدار جذب آلومینیوم

مقدار جذب آلومینیوم در ریشه

نتایج حاصل از سنجش میزان آلومینیوم در گیاهان تیمار شده و گیاهان شاهد بیانگر روند افزایشی محتوای آلومینیوم ریشه پس از قرارگیری آن در معرض غلظت‌های مختلف آلومینیوم می‌باشد. این افزایش جذب ریشه از لحاظ آماری معنی‌دار بود و

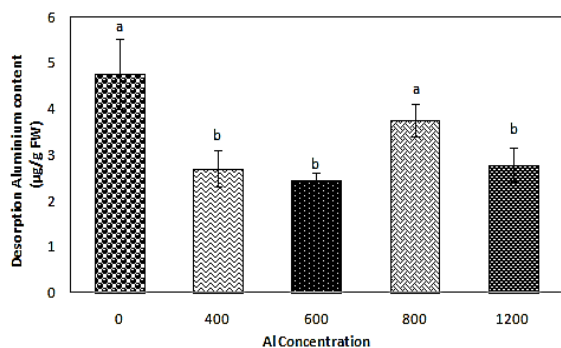
نشان داد و این افزایش معنی دار بود (شکل ۱۳).



شکل ۱۳: تاثیر تیمار (400, 1200 µM) Al بر محتوای آلمینیوم زیستده خشک در مقایسه با گروه شاهد. داده ها میانگین سه تکرار و در هر گروه، حروف غیر یکسان نشان دهنده تفاوت معنی دار در سطح $P \leq 0.05$ می باشد.

مقدار آلمینیوم واجذب شده از ریشه

نتایج حاکی از آن است که ریشه های مورد بررسی نه تنها در زمان مورد نظر واجذبی نداشتند بلکه همچنان به جذب آلمینیوم در آب ادامه داده اند. محتوای آلمینیوم آب حاوی ریشه های تیمار شده کمتر از آب حاوی نمونه شاهد می باشد (شکل ۱۴).



شکل ۱۴: تاثیر تیمار (400, 600, 800, 1200 µM) Al بر محتوای واجذب آلمینیوم ریشه در مقایسه با گروه شاهد. داده ها میانگین سه تکرار و در هر گروه، حروف غیر یکسان نشان دهنده تفاوت معنی دار در سطح $P \leq 0.05$ می باشد.

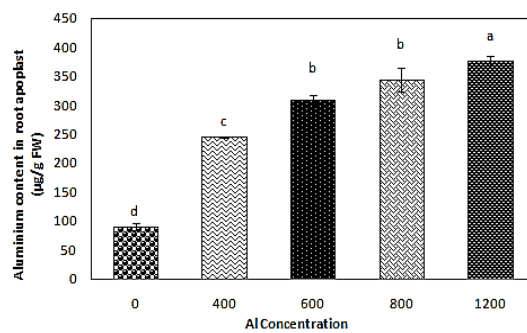
pH تغییرات

رونده تغییرات pH در طول ده روز تیمار در هر دو گروه شاهد و تیمار رو به کاهش بوده است که در گروه تیمار و به خصوص در غلظت 1200 µM این

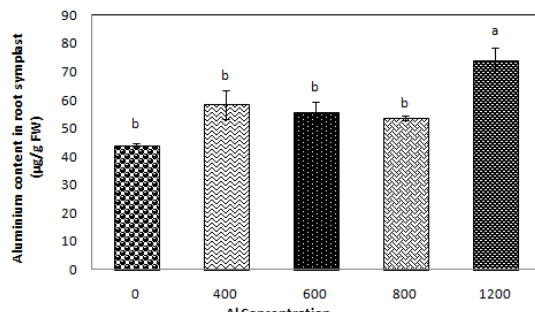
مقدار جذب آلمینیوم سیم پلاستی و آپوپلاستی

نتایج نشان می دهد با افزایش غلظت آلمینیوم تیمار، میزان جذب آن نیز در آپوپلاست ریشه افزایش یافته و این میزان نسبت به گروه شاهد معنی دار است (شکل ۱۱).

مقدار آلمینیوم اندازه گیری شده در سیم پلاست ریشه به جز در غلظت ۱۲۰۰ ماکرومولار با ۶۸ درصد افزایش، در مابقی غلظت ها تغییر معنی داری با گروه شاهد نشان نداد (شکل ۱۲).



شکل ۱۱: تاثیر تیمار (400, 600, 800, 1200 µM) Al بر محتوای آلمینیوم آپوپلاستی ریشه در مقایسه با گروه شاهد. داده ها میانگین سه تکرار و در هر گروه، حروف غیر یکسان نشان دهنده تفاوت معنی دار در سطح $P \leq 0.05$ می باشد.



شکل ۱۲: تاثیر تیمار (400, 600, 800, 1200 µM) Al بر محتوای آلمینیوم سیم پلاستی ریشه در مقایسه با گروه شاهد. داده ها میانگین سه تکرار و در هر گروه، حروف غیر یکسان نشان دهنده تفاوت معنی دار در سطح $P \leq 0.05$ می باشد.

مقدار آلمینیوم زیستده خشک

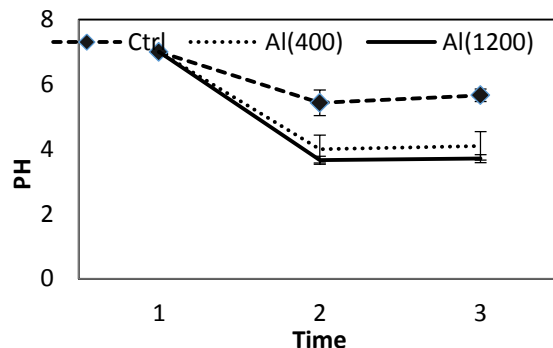
محتوای آلمینیوم جذب شده در دو غلظت ۴۰۰ و ۱۲۰۰ ماکرومولار در مقایسه با گروه شاهد افزایش

بحث:

گزارش‌های متعدد نقش آلمینیوم را در تولید گونه‌ی فعال اکسیژن مولکولی (رادیکال‌های آنیون) سوپراکسید (O_2^-)، رادیکال هیدروکسیل (OH) و هیدروژن پروکسید (H_2O_2) و ایجاد تنفس اکسیداتیو تایید می‌کند [۵]. تولید گونه‌های فعال اکسیژن سبب پراکسیداسیون لیپیدهای غشا، تخریب پروتئین‌ها و نوکلئیک اسیدها می‌شود [۱۰]. گیاهان برای کاهش دادن اثر مخرب گونه‌های فعال اکسیژن مکانیسم‌های متفاوتی دارند. از جمله این مکانیسم‌ها می‌توان به سیستم دفاع آنتی‌اکسیدانی (آنزیمی و غیر آنزیمی) اشاره کرد. آنزیم پراکسیداز نقش مهمی را در جاروب کردن پراکسید هیدروژن دارد که این عمل با کمک اسید آسکوربیک به عنوان یک دهنده الکترون برای احیای پراکسید هیدروژن به آب صورت می‌گیرد [۸]. فعالیت SOD به تنها بیان افزایش پراکسید هیدروژن می‌شود که برای سلول سمی است. در نتیجه تبدیل این ترکیب در مراحل بعدی ضروری می‌باشد. در گیاهان این واکنش با فعالیت آنزیم‌های کاتالاز و پراکسیداز و تبدیل H_2O_2 به آب کاتالیز شده ومانع از تولید رادیکال‌های آزاد بیشتر توسط H_2O_2 می‌شود [۱۷].

سنجه قدرت احیاکنندگی در عصاره‌ها ناشی از احیای آهن ۲ به آهن ۳ با انتقال الکترون است. میزان کمپلکس آهن با اندازه‌گیری میزان تشکیل رنگ آبی پروس در ۷۰۰ نانومتر قابل اندازه‌گیری است حضور عوامل احیا کننده (آنثی اکسیدان‌ها) منجر به احیای کمپلکس‌های فری‌سیانید و تبدیل آن‌ها به فرم فروسن می‌شود که بسته به ظرفیت احیاکنندگی عصاره‌های مورد بررسی با تغییر رنگ محلول از زرد به درجات

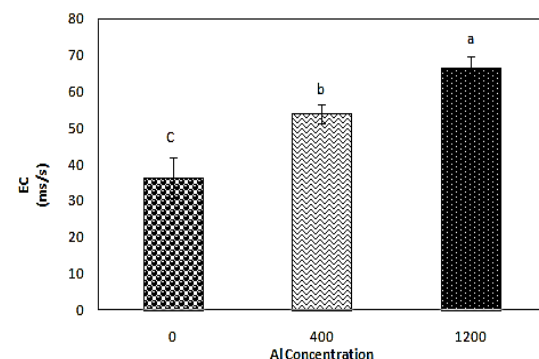
کاهش محسوس‌تر است. در گروه شاهد pH ۷ به ۵/۷ رسیده در حالی که در غلظت μM ۱۲۰۰، pH از ۷ به ۳/۷ تغییر کرده است (شکل ۱۵).



شکل ۱۵: تاثیر تیمار (Al 400, 1200 μM) بر pH آب حاوی فیلترهای زیتونه خشک در مقایسه با گروه شاهد. داده‌ها میانگین سه تکرار و در هر گروه، حروف غیر یکسان نشان دهنده تفاوت معنی‌دار در سطح $P \leq 0.05$ می‌باشد.

تغییر میزان هدایت الکتریکی (EC)

نتایج نشان دهنده افزایش میزان هدایت الکتریکی با افزایش غلظت محتوای آلمینیوم در طول تیمار نسبت به گروه شاهد است که در بیشترین میزان آن، ۱/۰۵ برابر افزایش، در مقایسه با گروه شاهد در غلظت M ۱۲۰۰ مشاهده شد (شکل ۱۶).



شکل ۱۶: تاثیر تیمار (Al 400, 1200 μM) بر EC آب حاوی فیلترهای زیتونه خشک در مقایسه با گروه شاهد. داده‌ها میانگین سه تکرار و در هر گروه، حروف غیر یکسان نشان دهنده تفاوت معنی‌دار در سطح $P \leq 0.05$ می‌باشد.

ممانعت انتقال فلز توسط ریشه، گیاه استراتژی‌های دیگری را نیز برای کاهش اثرات مضر تنفس به کار می‌گیرد. فلز سنگین آلمینیوم به طور فعال از غشای تونوپلاستی عبور کرده، در واکوئل‌های سلول‌های ریشه انباسته می‌شود. این امر انتقال آلمینیوم را به بخش هوایی کند می‌کند و موجب انباست مقادیر بیشتری از این فلز در ریشه‌ها نسبت به اندام هوایی می‌شود. از دیگر راهکارهای گیاه پیوند فلز آلمینیوم به دیواره سلول می‌باشد که منجر به کاهش تجمع فلز و در نتیجه به حداقل رساندن اثرات تنفس در بخش هوایی گیاه می‌شود [۱۱]. اندازه‌گیری جداگانه میزان آلمینیوم سیم پلاستی و آپوپلاستی مشخص نمود که گیاه حجم بیشتری از آلمینیوم را در دیواره سلولی خود به دام انداخته و برای غیر متحرک‌سازی آن، از این راهکار استفاده نموده است. در بررسی واجذب آلمینیوم از ریشه‌های تیمار شده، مشخص شد که واجذبی رخ نداده و ریشه همچنان به جذب آلمینیوم ادامه داد که این توان بالای مکان‌های متصل شونده به آلمینیوم را در دیواره گیاه نشان می‌دهد.

مطالعه روند جذب آلمینیوم توسط زیتده خشک گیاه، افزایش غلظت آلمینیوم در تیمار زیتده‌های خشک گیاه را متناسب با افزایش غلظت آلمینیوم عرضه شده نشان داد. این امر می‌بین توان این گیاه برای جذب آلمینیوم حتی توسط زیتده خشک آن است. اندازه‌گیری pH محلول حاوی زیتده خشک، روند کاهش pH در طول تیمار را نشان می‌دهد که احتمالاً به دلیل اتصال آلمینیوم به گروه کربوکسیل پکتین دیواره و آزادسازی پروتون آن و رها شدن در محیط می‌باشد. اندازه‌گیری EC محلول حاوی زیتده‌های خشک و افزایش آن متناسب با غلظت تیمار، نشان از تبادلات یونی بیشتر در غلظت‌های بالاتر دارد و در

گوناگونی از رنگ‌های سبز و آبی همراه است [۱۸]. افزایش جذب در این طول موج حاکی از افزایش قابلیت احیا کنندگی است و رنگ آبی ایجاد شده با قدرت الکترون دهی آنتی اکسیدان‌های مورد آزمایش رابطه خطی دارد [۹].

به دنبال القای تولید آنیون سوپر اکسید در اثر تنفس آلمینیوم در گیاهان تحت تیمار، افزایش میزان جاروب کنندگی این رادیکال آزاد و همچنین قدرت احیاکنندگی مشاهده شد. کاهش میزان پراکسید هیدروژن سبب کاهش فعالیت آنزیم پراکسیداز گردید اما افزایش SOD این کاهش را جبران نمود. در اندام هوایی، تغییرات معنی‌داری در هیچ کدام از موارد یاد شده مشاهده نشد.

گیاهان استراتژی‌های مختلفی را در رویارویی با عناصر سنگین در محیط خود اتخاذ می‌کنند که از جمله آن می‌توان به تراوش و تجمع اشاره نمود. تراوش رایج‌ترین استراتژی در گونه‌های متحمل به عنصر است. اما تجمع در گونه‌هایی که می‌توانند در خاک‌های فلزدار رشد کنند اتفاق می‌افتد. در گیاهان انباست کننده تجمع فلز در ریشه‌ها بیشتر از اندام هوایی است [۱۶]. طبق نتایج حاصله از بررسی حاضر با افزایش غلظت آلمینیوم از ۴۰۰ تا ۱۲۰۰ میکرومولار، تجمع این عنصر در ریشه‌ها افزایش یافت در حالی که در اندام هوایی در غلظت‌های مختلف تفاوت معنی‌داری با گروه شاهد دیده نشد. این نتایج نشان می‌دهد که گیاه لیسیاتوس انباست کننده آلمینیوم می‌باشد. نکته جالب این است که در ریشه‌ها میزان تجمع آلمینیوم بیشتر از برگ‌ها است. نتایج نشان می‌دهد که ریشه مانند یک مانع آپوپلاستی و سیم پلاستی انتقال فلز عمل کرده و منجر به کاهش انتقال فلز به بخش‌های هوایی گیاه می‌شود. علاوه بر

- damage in leaves of maize seedlings. *Plant Cell PHysiology* 42: 1265- 1273
- [11] John, R., Ahmad, P., Gadgil, K., & Sharma, S. (2012). Heavy metal toxicity: Effect on plant growth, biochemical parameters and metal accumulation by *Brassica juncea* L. *International Journal of Plant Production*, 3(3), 65-76.
- [12] Konishi, S., Miyamoto, S. and Taki, T. (1985) Stimulatory effects of aluminum on tea plants growth under low and high phosphorus supply. *Soil Science and Plant Nutrition* 31:361-368.
- [13] Kuo, M. C., & Kao, C. H. (2003). Aluminum effects on lipid peroxidation and antioxidative enzyme activities in rice leaves. *Biologia Plantarum*, 46(1), 149-152.
- [14] Li, X. (2012). Improved pyrogallol autoxidation method: a reliable and cheap superoxide-scavenging assay suitable for all antioxidants. *Journal of agricultural and food chemistry*, 60(25), 6418-6424.
- [15] Matsumoto, H., Hirasawa, E., Torikai, H., & Takahashi, E. (1976). Localization of absorbed aluminium in pea root and its binding to nucleic acids. *Plant and Cell PHysiology*, 17(1), 127-137.
- [16] Pardo, F., & Imperato, F. (2006). Common hydroxyanthraquinones in alleviation of aluminium toxicity in plants. *PHytochemistry: Advances in Research, Research Signpost*, Trivandrum, India, 137-147.
- [17] Sandalio, L. M., & Del Río, L. A. (1988). Intraorganellar distribution of superoxide dismutase in plant peroxisomes (glyoxysomes and leaf peroxisomes). *Plant pHysiology*, 88(4), 1215-1218.
- [18] Soares, A. A., de Souza, C. G. M., Daniel, F. M., Ferrari, G. P., da Costa, S. M. G., & Peralta, R. M. (2009). Antioxidant activity and total pHenolic content of *Agaricus brasiliensis* (*Agaricus blazei* Murrill) in two stages of maturity. *Food chemistry*, 112(4), 775-781.
- [19] Velikova, V., Yordanov, I., & Edreva, A. (2000). Oxidative stress and some antioxidant systems in acid rain-treated bean plants: protective role of exogenous polyamines. *Plant Science*, 151(1), 59-66.
- [20] Yamamoto, Y., Kobayashi, Y., Devi, S. R., Rikiishi, S., & Matsumoto, H. (2003). Oxidative stress triggered by aluminum in plant roots. In Roots: The Dynamic Interface between Plants and the Earth (pp. 239-243). Springer Netherlands.

راستای کاهش pH محیط می‌باشد.

منابع

- [۱] شکوهی خدیجه، قناتی فائزه، (۱۳۸۶). تاثیر آلومینیوم بر کاهش رشد و تغییر در ترکیبات دیواره سلول‌های توتون، نشریه علوم (دانشگاه خوارزمی) ۸۵۵-۸۶۴
- [۲] نعمتی فرنوش، قناتی فائزه، (۱۳۸۷). بررسی تاثیر آلومینیوم بر فعالیت سیستم آنزیمی آنتی اکسیدان بر قلمه‌های ریشه‌دار گیاه لیسیانتوس
- [۳] نوریه، م. (۱۳۹۴). نقش فسفر در تحمل به آلومینیوم در گیاه لیسیانتوس (Eustomagrandiflora L.). پایان نامه کارشناسی ارشد. دانشگاه تربیت مدرس، دانشکده علوم زیستی.
- [4] Brunner, I., & Sperisen, C. (2014). Aluminum exclusion and aluminum tolerance in woody plants. *EcoPHysiology of root systems-environment interaction*, 96.
- [5] Devi, S. R., Yamamoto, Y., & Matsumoto, H. (2003). An intracellular mechanism of aluminum tolerance associated with high antioxidant status in cultured tobacco cells. *Journal of Inorganic Biochemistry*, 97(1), 59-68.
- [6] Ghanati, F., Morita, A., & Yokota, H. (2002). Induction of suberin and increase of lignin content by excess boron in tobacco cells. *Soil Science and Plant Nutrition*, 48(3), 357-364.
- [7] Ghanati, F., Morita, A., & Yokota, H. (2005). Effects of aluminum on the growth of tea plant and activation of antioxidant system. *Plant and soil*, 276(1-2), 133-141.
- [8] Gressel, J. and Galun, E. (1994) Genetic controls of pHotoxidant tolerance. In: C.H., Foyer, Mullineaux, P.M. (Eds.): Causes of PHotoxidative Stress and Amelioration of Defence Systems in Plants. CRC Press Boca Raton: 237-274.
- [9] Huang, D., Ou, B., & Prior, R. L. (2005). The chemistry behind antioxidant capacity assays. *Journal of agricultural and food chemistry*, 53(6), 1841-1856.
- [10] Jiang, M. and Zhang, J. (2001) Effect of abscisic acid on active oxygen species, antioxidative fencesystem and oxidative

